

(HUANJING KEXUE)

ENVIRONMENTAL SCIENCE

第34卷 第6期

Vol.34 No.6

2013

中国科学院生态环境研究中心 主办

科学出版社出版



ENVIRONMENTAL SCIENCE

第34卷 第6期 2013年6月15日

目 次

2008 ~ 2010 年北京城区大气 BTEX 的浓度水平及其 9、生成潜势
·····································
沈阳市降水化学成分及来源分析
笼养肉鸡生长过程 NH ₃ 、N ₂ O、CH ₄ 和 CO ₂ 的排放
碳化硅协同分子筛负载型催化剂微波辅助催化氧化甲苯性能 … 王晓晖,卜龙利,刘海楠,张浩,孙剑宇,杨力,蔡力栋(2107)
在氧化和还原氛围下脉冲电晕法降解二硫化碳废气 金圣,黄立维,李国平(2121)
模拟大气 CO, 水平升高对春季太湖浮游植物生理特性的影响 赵旭辉, 汤龙升, 史小丽, 杨州, 孔繁翔(2126)
HSPF 径流模拟参数敏感性分析与模型适用性研究
基于非点源污染的水质监测方案研究
不同的强下员际暴放标记往机分分铜口机制研究 春季东海赤潮发生前后营养盐及溶解氧的平面分布特征 ··················· 李鸿妹,石晓勇,陈鹏,张传松(2159)
三峡库区大宁河枯水期藻细胞的时空分布 张永生,郑丙辉,王坤,姜霞,郑浩(2166) 郑沪诏和柳汾昭州东和复织公的藻类可利田州 江传带 北县 传文卷 玉又思 李乾游 埃尼丽 计线点 甄士克(2176)
刚毛藻分解对上覆水磷含量及赋存形态的影响 冯怜宝, 派生, 黑立朝, 王奎瑞, 学物好, 崔风丽, 竹绾金, 玑芯菇(2176)
反复扰动下磷在沉积物和悬浮物以及上覆水间的交换 ************************************
二峡库区王安文流表层沉积物多溴联本醚的分布特值 ······· 学芘,赵尚峰,周怀东,刈皖如,余丽芩,义武,张昉伟(2198) UV 和 H.Q, 联合消毒灭活饮用水中大肠杆菌研究 ····································
臭氧降解水中邻苯二甲酸二甲酯的动力学及影响因素 于丽,张培龙,侯甲才,庞立飞,李越,贾寿华(2210)
· 朗酸根对水体甲甲基汞光化字降解的影响 · · · · · · · · · · · · · · · · · · ·
金属离子对 δ -MnO,去除对叔辛基酚抑制作用的研究 ————————————————————————————————————
核-完表面磁性印迹聚合物的制备及具对水中双酚 A 的特异性去除
纳滤预处理测定景观水体中溶解性有机氮质量浓度及其分布特征 … 于红蕾,霍守亮,杨周生,席北斗,昝逢宇,张靖天(2256)
改性水凝胶的制备及其对 Pb ²⁺ 、Cd ²⁺ 吸附性能研究
基于微气泡曝气的生物膜反应器处理废水研究 张磊,刘平,马锦,张静,张明,吴根(2277)
Fenton 法处理竹制品废水生化出水的研究
进水底物浓度对蔗糖废水产酸合成 PHA 影响研究
接种好氧颗粒污泥快速启动硝化工艺的过程研究
案解乃犯去陈尚祁良铅的影响囚系研究 ····································
我国淡水水体中双酚 A(BPA)的生态风险评价
麦穗鱼物种敏感性评价 ····································
桂林市交警头发 Hg、Pb 含量及分布研究
直流电场处理后隆线溞趋光性对 Cr ^o *和 Hg ⁻ *的响应 ····································
7种树木的叶片微形态与空气悬浮颗粒吸附及重金属累积特征 刘玲, 方炎明, 王顺昌, 谢影, 杨聃聃(2361)
溶解氧对碳氮硫共脱除工艺中微生物群落影响解析 ····································
·····································
典型滨海湿地干湿交替过程氮素动态的模拟研究 韩建刚,曹雪(2383)
三峡岸区坐山建圩地区上壤拥守里壶属分和特征及木砾切光
北京市不同区位耕作土壤中重金属总量与形态分布特征 陈志凡,赵烨,郭廷忠,王水锋,田青(2399)
李节变化对贡阳中不问切能区地表灰至里筮属的影响····································
模拟氮沉降对森林土壤有机物淋溶的影响
中基 <i>B</i> 环树植对万染物地土壤中多环方烃的异位增效洗脱修复研究 ···
长期施用粪肥蔬菜基地蔬菜中典型抗生素的污染特征
一一一一一一一一一一一一一一一一一一一一一一一一一一一一一一一一一一一一一
北京市生活垃圾转运站耗能和排污特征及其影响因素分析 王昭,李振山,冯亚斌,焦安英,薛安(2456)
要刈垃圾災烷 C.灰皮出行性的影响及地球化字模拟 ····································
富含中孔与酸性基团的生物质炭的制备与吸附性能 李坤权,李烨,郑正,张雨轩(2479)
生物灰坟个垓畔找冉温至效应滑力彻步评怕 ····································
溶解氧对碳氮硫共脱除工艺中微生物群落影响解析

有机蒙脱石负载纳米铁去除溶液中四溴双酚 A 的研究

闫梦玥^{1,2,3},庞志华^{3*},李小明^{1,2},谌建宇³,罗隽³

(1. 湖南大学环境科学与工程学院,长沙 410082; 2. 环境生物与控制教育部重点实验室(湖南大学),长沙 410082; 3. 环境保护部华南环境科学研究所,广州 510655)

摘要:研究了改性蒙脱石负载纳米铁材料(NZVI-CMT)在甲醇-水体系中对四溴双酚 A(TBBPA)的去除作用,并确定了反应温度、TBBPA 初始浓度以及材料投加量等因素对去除效果的影响. 结果表明,在 25%条件下, 0.02 g NZVI-CMT 对初始浓度为 $10~\text{mg}\cdot\text{L}^{-1}$ TBBPA 溶液的去除率可达 97.5%,而且 NZVI-CMT 对 TBBPA 的去除率明显高于两种单一材料即纳米零价铁 (NZVI)及有机蒙脱石(CMT)的去除率(18.3%、67.3%),同时也大于两者之和(85.6%). 利用 NZVI-CMT 对 TBBPA 进行重复去除实验时,前 3 次的去除率均可达到 90%以上. 通过检测降解产物并分析材料对 TBBPA 去除过程的特性,发现 NZVI-CMT 对 TBBPA 的去除以吸附为主,并伴有少量还原脱溴反应发生,而且较高的反应温度对降解反应有利.

关键词:有机蒙脱石;纳米零价铁;四溴双酚 A;吸附;还原脱溴

中图分类号: X703.1 文献标识码: A 文章编号: 0250-3301(2013)06-2249-07

Research on Removal of Tetrabromobisphenol A from Synthetic Wastewater by Nanoscale Zero Valent Iron Supported on Organobentonite

YAN Meng-yue^{1,2,3}, PANG Zhi-hua³, LI Xiao-ming^{1,2}, CHEN Jian-yu³, LUO Jun³

(1. College of Environmental Science and Engineering, Hunan University, Changsha 410082, China; 2. Key Laboratory of Environmental Biology and Pollution Control (Hunan University), Ministry of Education, Changsha 410082, China; 3. South China Institute of Environmental Sciences, Ministry of Environment Protection, Guangzhou 510655, China)

Abstract: The removal of tetrabromobisphenol A (TBBPA) in methanol aqueous solutions by nanoscale zero valent iron supported on organobentonite (NZVI-CMT) was studied. The effects of temperature, initial concentration of TBBPA and the dose of NZVI-CMT on the degradation and debromination of TBBPA were investigated. The removal rate by NZVI-CMT reached 97.5% within 12 hours at 25°C, when the initial concentration of TBBPA was 10 mg·L⁻¹. And the removal rate of NZVI-CMT was higher than those of two simple materials, namely organobentonite (CMT) and nanoscale zero valent iron (NZVI), as well as the sum of those two simple materials. In addition, NZVI-CMT exhibited a better reusable attribute, and the rate of the materials remained above 90% after being used for 3 times. Based on the identification of degradation products and analysis of the TBBPA removal by NZVI-CMT, the main reaction mechanism was suggested as adsorption and debrominnation, and higher reaction temperature was preferable for debrominnation.

Key words: organobentonite; nanoscale zero valent iron (NZVI); tetrabromobisphenol A (TBBPA); adsorbtion; reductive debromination

四溴双酚 A (tetrabromobisphenol A, TBBPA)是目前产量最大的溴系阻燃剂 (brominated flame retardants, BFRs), 在生产和使用中 TBBPA 可能释放到各种环境介质中如大气、废水、污泥、土壤及生物体等^[1~3]. TBBPA 作为一种内分泌干扰物,还表现出潜在的甲状腺激素干扰活性、免疫毒性、神经毒性等^[4~6],对自然环境及人类都造成了极大的危害.

目前对环境中 TBBPA 的处理研究主要关注于 光降解^[7]、微生物降解^[8]、高级氧化处理^[9]以及电 子束辐照降解^[10]等,而有关纳米零价铁(nanoscale zero-valent iron, NZVI)尤其是以吸附性材料为载体 的负载型 NZVI 对 TBBPA 的降解技术鲜有报道. 自 从 Gillham 等^[11]于 1994 年提出零价铁可用于地下 水的原位修复以来,尤其是具有更大比表面积及表面能的 NZVI 逐渐在处理各种卤代有机物领域发挥巨大作用^[12,13]. 然而, NZVI 比表面积大、反应活性强、容易团聚与氧化的特性使得其在实际应用中难以发挥作用. 此外,液相中疏水性有机物与 NZVI 的不同极性也导致纳米零价铁在降解卤代有机物的应用中受到一定限制^[14]. 针对上述情况,通常利用聚合物或表面活性剂作为稳定剂^[15~17]降低纳米颗粒的团聚程度. 近年来,由于蒙脱石具有独特的阳离子交换及可膨胀性能而经常作为载体实验^[17],国内外

收稿日期: 2012-08-27; 修订日期: 2012-11-15

基金项目: 国家水体污染控制与治理科技重大专项(2012ZX07211-002);国家科技支撑计划项目(2012BAJ21B07)

作者简介: 闫梦玥(1988~),女,硕士研究生,主要研究方向为水污染控制工程,E-mail;yanmengyuedh@163.com

* 通讯联系人,E-mail:pangzhihua@scies.org

已有诸多关于在制备 NZVI 时引入蒙脱石的报道^[18-21],由此获得分散良好的 NZVI 颗粒. 为了保证载体蒙脱石能有效吸附溶液中 TBBPA,采用经有机改性的蒙脱石作为载体,更能在催化与环境修复方面发挥这种新型复合纳米铁材料的效用.

本研究以有机改性蒙脱石为载体,通过 FeSO₄ 与 NaBH₄ 液相还原制备出负载型纳米铁颗粒. 在前期该材料的制备及其对 4-氯酚的去除研究基础上^[22],考察了该材料对甲醇-水体系中的难降解污染物 TBBPA 的去除效果,并着重分析反应温度、TBBPA 初始浓度及材料投加量对去除效果的影响,进而深入探讨该材料对 TBBPA 去除途径及反应机制,发展了一种具有良好应用前景的吸附还原技术,以期为 TBBPA 的有效控制及今后推广该技术在修复水中微量毒害物应用提供理论基础.

1 材料与方法

1.1 材料及试剂

四溴双酚 A(TBBPA, Dr. Ehrenstorfer GmbH, 纯度 99%)溶于甲醇(CNW Technologies GmbH, 色谱纯)制备 TBBPA 的储备液,浓度为 500 mg·L⁻¹,其他浓度的溶液直接用甲醇-水体系(甲醇:水=8:2,体积比)稀释储备液即可,并以 HNO₃(优级纯)调节溶液 pH 值为 5.0;钠基蒙脱石系浙江安吉产高纯度钠基蒙脱石,其蒙脱石含量为 90%,阳离子交换容量(cationic exchange capacity, CEC)为 1.12 mmol·g⁻¹;二氯甲烷,CNW Technologies GmbH,色谱纯;十六烷基三甲基溴化铵(CTMAB)、七水合硫酸亚铁、硼氢化钠、无水乙醇等试剂均为分析纯,实验用水为超纯水.

1.2 实验方法

利用离子交换作用将蒙脱石原土层间的水合阳离子由 CTMAB 的季铵盐长链取代而得有机改性的蒙脱石,以 CMT 命名;有机蒙脱石负载纳米铁的制备则通过液相还原的方法,称取一定量 CMT 于七水合硫酸亚铁溶液中搅拌分散 9 h,用硼氢化钠还原液相中的 Fe²⁺,即得有机蒙脱石负载纳米铁,其中铁与有机蒙脱石的质量比为 1:4,命名为 NZVI-CMT^[22].出于对照目的制备了纳米铁颗粒,方法与NZVI-CMT 制备方法相同,制备过程无以有机蒙脱石参与,产物表示为 NZVI.

TBBPA 降解实验:以具塞 100 mL 锥形瓶为反应器,每个反应器中加入 50 mL TBBPA 溶液及不同投加量的降解材料,密封后置于恒温振荡箱(THZ-

03M2R,博彩生物)进行降解反应,控制振荡箱转速分别为 150 r·min⁻¹,根据实验需要调节 TBBPA 溶液初始浓度及反应温度,并分别于 5 min、15 min、30 min、1 h、2 h、4 h、12 h 时取 3 个平行样,样品均经过 0.45 μm 微孔滤膜过滤后,测定体系中残留的 TBBPA 浓度及释放的溴离子浓度,分析时使用的数据为平行样结果的平均值.空白对照组则不加降解材料,仅在反应器中加 50mL 相应浓度 TBBPA 溶液,其它条件同实验组.

1.3 分析方法

四溴双酚 A 及其有机产物采用日本岛津 LC-20AT 型 高 效 液 相 色 谱 仪 测 定, 测 定 条 件 为: SupelcosilTMK C-18 色谱柱,25 cm × 4.6 mm, 5 μ m 色谱柱,UV-Vis 检测器,检测波长 220 nm,流动相甲醇: 水 = 85: 15 (体积比),流速 1.0 mL·min $^{-1}$,柱温 30°C.

溴离子浓度采用离子选择电极法测定,仪器为雷磁 PHS-3C 型精密 pH 计,配以雷磁 P Br⁻1-01 溴离子选择电极和 217 型双液接饱和甘汞电极.

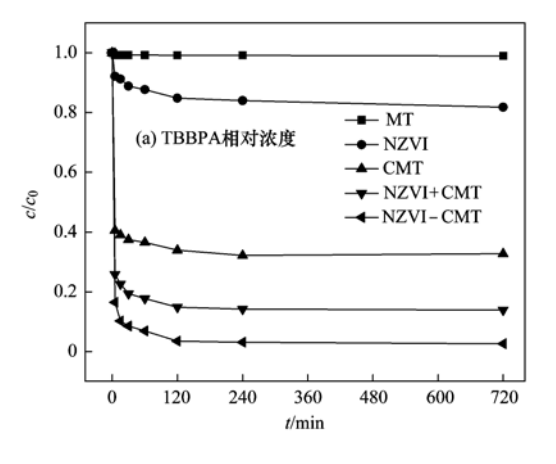
本实验采用相对浓度 c/c_0 来表征不同影响因素对 TBBPA 的去除效果,其中,在 TBBPA 相对浓度随反应时间 t 变化图中,c 表示反应一定时间后溶液中剩余的 TBBPA 浓度, c_0 则表示空白对照组中TBBPA 的浓度,而在溴离子释放量随反应时间 t 变化图中,c 表示反应一定时间后溶液中释放的溴离子浓度, c_0 则表示反应溶液中溴的绝对含量.

2 结果与讨论

2.1 NZVI-CMT 对 TBBPA 的去除效果

分别取 0.02 g 有机蒙脱石负载纳米铁(NZVI-CMT)、0.02 g 蒙脱石原土(MT)、等效铁含量的 NZVI(0.004 g) 和等效蒙脱石含量的 CMT(0.016 g) 投加至 10 mg·L⁻¹ TBBPA 溶液中,考察各种材料 在反应过程中体系剩余的 TBBPA 相对浓度及溴离子释放量的变化情况. 为进一步考察 NZVI 与 CMT 对 TBBPA 的去除作用,将 0.004 g NZVI 与 0.016 g CMT 同时投加至反应溶液作为对照组(该对照组命名为 NZVI + CMT),结果见图 1.

由图 1(a) 可见,在相同实验条件下反应 12 h后,MT 几乎不具备去除 TBBPA 的能力,反应体系中的 TBBPA 残留浓度几乎与空白对照组中相同. CMT对 TBBPA 的去除效果则明显好于 MT,表明经CTMAB 有机改性后可大大增加 CMT 去除 TBBPA的性能.与 NZVI-CMT 材料相同铁含量的 NZVI 及



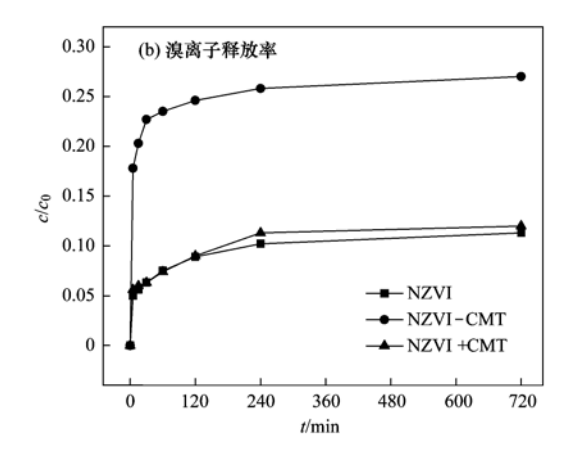


图 1 不同材料下 TBBPA 相对浓度和溴离子释放率随时间的变化曲线

Fig. 1 Effect of different materials on the concentration of TBBPA and the release rate of Br -

相同蒙脱石量的 CMT 的去除率分别为 18.3% 和 67.3%, 而 NZVI-CMT 的去除率却高达 97.5%, 明 显大于 NZVI 与 CMT 分别对 TBBPA 的去除率之和 (85.6%)及同时加入两种材料体系的去除率 (86.1%). NZVI 及 CMT 分别加入 TBBPA 溶液的去 除率之和与同时加入的去除率大致相同. 另外,反应 体系中溴离子释放率随时间变化曲线显示[图1 (b)],前4h为主要反应阶段,在此期间反应体系 中有大量溴离子释放,而反应体系中 TBBPA 迅速减 少,其后体系中溴离子释放量逐渐趋于稳定. NZVI 及CMT同时加入至反应溶液中溴离子的释放量与 加入 NZVI 体系所释放的溴离子量相同, 而 NZVI-CMT 在去除 TBBPA 过程中所释放的 Br 可显较前 两种体系多, NZVI 与 CMT 两种单一材料对 TBBPA 的去除并未表现明显的协同作用,而负载过程是提 高 NZVI 的还原能力的主要原因. 这是由于负载型 纳米铁具有更大的比表面积和反应活性,从而具有 更强的还原能力致使 TBBPA 脱溴,并表现出更好的 去除 TBBPA 的能力.

根据 TBBPA 相对浓度及溴离子释放率随时间变化曲线计算发现,反应体系中实际释放的溴离子量仅占已去除的 TBBPA 中溴含量的 23%,表明 NZVI-CMT 在去除 TBBPA 过程中以吸附为主,在 60 min 内,部分 TBBPA 由负载于材料上的 Fe⁰ 还原脱溴得以去除.

为进一步考察所制备的 NZVI-CMT 的持续去除性能,本研究还进行了材料循环使用性实验. 将 0.02~g NZVI-CMT 投加至 50~mL $10~mg \cdot L^{-1}$ pH 为 5~mL 的 TBBPA 溶液中,温度控制在 25 % 进行反应, 12~hL 后,向反应体系中补充一定量的 TBBPA 溶液与水,使体系中 TBBPA 及反应液体积均保持与第一次相

同,如此重复进行 4 次实验,结果如图 2. 从中可知, NZVI-CMT 前 3 次去除率均大于 90%,且在第四次 反应中仍具有一定的去除作用,去除率为 68. 7%. 因此,NZVI-CMT 具有较好的循环使用性能,这对将来该材料应用于含 TBBPA 的实际废水的处理具有重要意义.

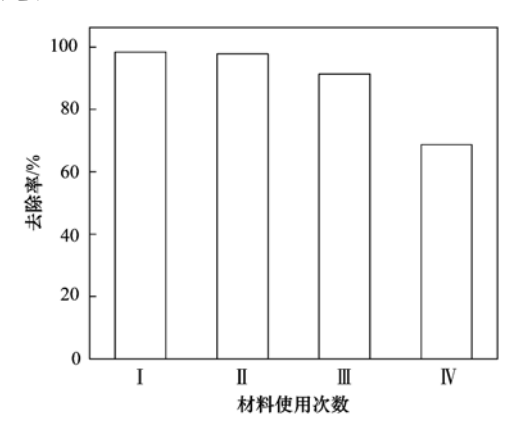


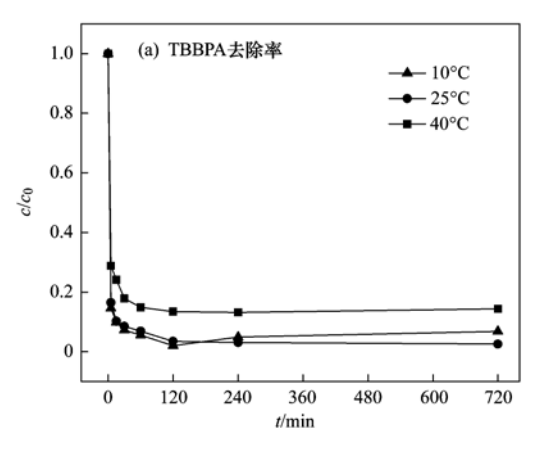
图 2 NZVI-CMT 的循环使用性

Fig. 2 Recycling of the materials

2.2 温度对 TBBPA 去除率的影响

分别将振荡箱温度设定为 10、25 和 40°C,TBBPA 初始浓度为 10 mg·L⁻¹,NZVI-CMT 投加量为 0.02 g,进行降解反应,得到不同温度下体系中剩余 TBBPA 相对浓度及溴离子释放量变化曲线如图 3 所示.

从图 3 可以看出,反应 12 h内,10℃下 TBBPA 的去除率明显大于 40℃,但 2 h后 10℃下的去除率 反而有略微降低,此外 25℃及 40℃下反应体系中溴离子的释放量始终大于 10℃时(10℃下的溴离子浓度在 12 h内释放量很少,约 0.51 mg·L⁻¹),由 2.1节结果分析,TBBPA 在 10℃下前 2 h内的去除主要是由于材料的吸附作用引起,且此时吸附作用优于



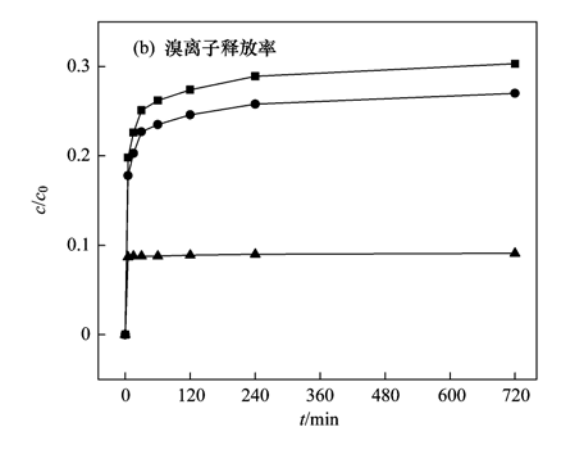


图 3 不同温度下 TBBPA 去除率和溴离子释放率随时间的变化曲线

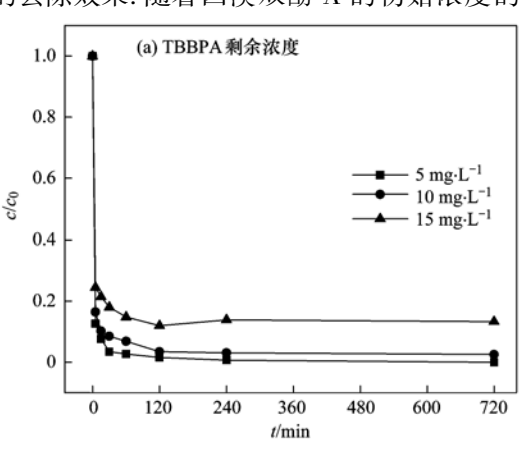
Fig. 3 Effect of different temperature on the concentration of TBBPA and the release rate of Br -

脱附作用. 一般地,较高的温度对吸附不利,故 40%下 TBBPA 的吸附量要低于 25%及 10%,这正好解释了 2 h 内 25%及 10%下 TBBPA 的去除率为何大于 40%. 但随着反应体系中 TBBPA 浓度逐渐下降,当吸附过程基本完成后(4 h 后),反应温度为 10%的体系中 TBBPA 剩余浓度增加,去除率下降.由不同温度的反应体系所表现的规律看出,温度较高(40%)时,NZVI-CMT的脱溴效率较高,12 h 后溴离子释放率达 30.3%,但高温不利于材料对 TBBPA的吸附作用;较低温度条件下(10%),NZVI-CMT 表现出更高的去除效果,但此时被还原脱溴的 TBBPA较少,12 h 后溴离子释放率仅 9.1%.

2.3 初始浓度对 TBBPA 去除率的影响

将 0. 02 g NZVI-CMT 与体系初始浓度分别为 5、10 和 15 mg·L⁻¹的 TBBPA 溶液于 25℃下进行反应,结果如图 4 所示.

由图 4 可以看出, NZVI-CMT 对 3 种浓度的 TBBPA 溶液的去除表现出相似的反应趋势, 而且均有较好的去除效果. 随着四溴双酚 A 的初始浓度的



增大,反应体系中 TBBPA 的剩余量增加,释放的溴离子减少,在反应最初的 4 h 内表现最为明显. TBBPA 在反应初期首先被大量的 NZVI-CMT 迅速吸附,导致 TBBPA 的浓度出现了明显的降低. 在进一步反应中,TBBPA 浓度变化趋于平缓,至 12 h 反应结束时 3 种体系中 TBBPA 的去除率分别为 100%、97. 5%、86. 8%,可以看出初始浓度的增加会导致 NZVI-CMT 对 TBBPA 的去除率下降. 尽管实际自然环境中,受 TBBPA 污染严重的水体其含量很少,仅几 μ g·L $^{-1[23]}$,但自然界中其总量非常大,本实验中研究了 NZVI-CMT 对一定总量 TBBPA 的具有很好的去除效果,因此本研究仍具有实际应用意义.

2.4 材料投加量对 TBBPA 去除效果的影响

在初始浓度为 $10 \text{ mg} \cdot \text{L}^{-1}$ 的 TBBPA 溶液中分别投加 $0.01 \cdot 0.02$ 及 0.03 g NZVI-CMT, 于 $25 \degree \text{C}$ 下对 TBBPA 进行降解处理,得到剩余 TBBPA 相对浓度及溴离子释放量变化曲线如图 5 所示.

从图 5 中可以看出,不同 NZVI-CMT 投加量与

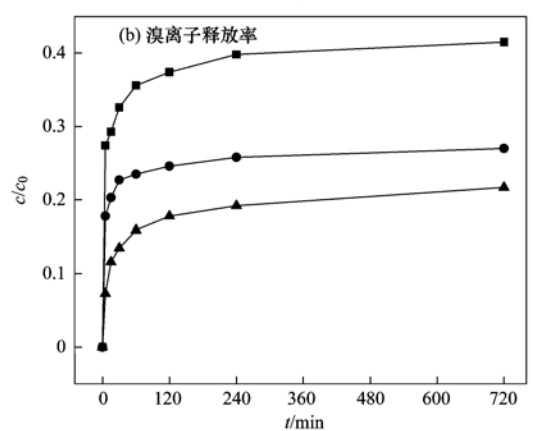
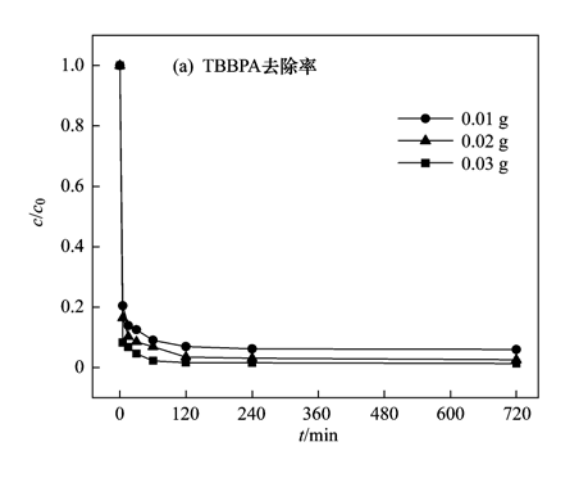


图 4 不同初始浓度下 TBBPA 剩余浓度和溴离子释放率随时间的变化曲线

Fig. 4 Effect of different initial concentration on the concentration of TBBPA and the release rate of Br -



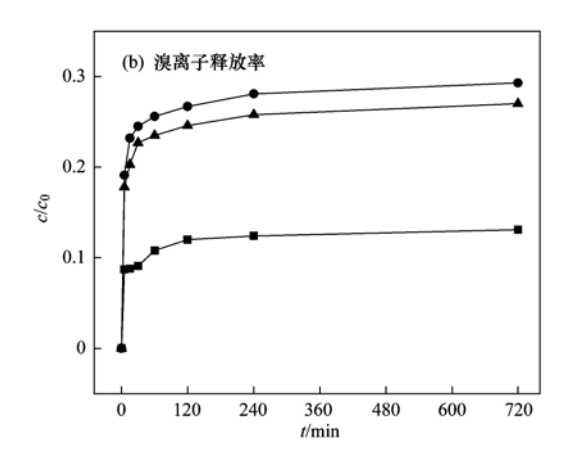


图 5 不同投加量下 TBBPA 去除率和溴离子释放率随时间的变化曲线

Fig. 5 Effect of different dose on the concentration of TBBPA and the release rate of Br -

TBBPA 反应,表现出相似的反应趋势. 但随着 NZVI-CMT 投加量的增加, TBBPA 的去除率亦增大, 但溴 离子释放量却减少. 这是由于增加反应体系中材料 的量,则总的比表面积增大,即 TBBPA 与 NZVI-CMT 接触的机会增大,进而加快了反应的进行,尤 其能使材料迅速大量吸附溶液中的 TBBPA, 使得其 剩余浓度迅速下降,但吸附在材料表面的 TBBPA 并 未能及时被 NZVI 还原脱溴,因此表现为溴离子释 放量随投加量的增加而减少. 经过 12 h 反应后,3 种 不同投加量的体系中, TBBPA 的去除率均能达到 94.8%以上,且投加量为 0.03 g 时去除率几乎达 100%. 由此说明实验条件下,即使投加较少量的材 料也可以达到很好的去除效果,而增加材料投加量 仅仅提高了反应速率,对最终的去除效果并未有明 显提高. 因此,在实际应用中,可根据实际情况选择 合适的投加量.

2.5 去除途径及其机制探讨

由于 Fe^0/Fe^{2+} 的标准还原电位为 $-0.044V^{[24]}$,而使得 Fe^0 具有良好的还原性,因此 NZVI 在去除有机污染物时主要是还原效应^[11,25],而 CMT 处理有机污染物则主要依赖于吸附^[26],结合 $2.1 \sim 2.4$ 节的结果分析,可知 NZVI-CMT 对 TBBPA 的作用主要包括吸附及脱溴两种机制.

吸附作用首先发生.由于蒙脱石具有比表面积大、离子交换性好、吸附性能优良等特点,特别是经过有机改性以后,大大提高了其吸附疏水性有机物的能力^[26]. NZVI-CMT 投加到 TBBPA 溶液中后,材料中含有的有机蒙脱石能迅速大量吸附 TBBPA 分子.另外,负载于有机蒙脱石上的 NZVI 由于其比表面积大,有优良的表面吸附能力和反应活性,因而也具有较强的吸附性能,所以部分 TBBPA 分子也会

被吸附于 Fe 原子表面,而后才能进一步发生作用.

吸附于 NZVI-CMT 表面的 TBBPA,进而与 NZVI 发生反应,即 TBBPA 的降解过程.在 NZVI-CMT 与 TBBPA 的反应体系中,将反应 12 h 后的混合液经二氯甲烷萃取并运用 HPLC 检测发现,如图 6,除了 4.932 min 处 TBBPA 的特征峰以外,还分别在保留时间为 2.620 min 及 3.465 min 出现双酚 A 及一溴双酚 A 的特征峰,说明 TBBPA 经 NZVI 还原生成了脱溴产物. NZVI 作为一种良好的还原剂,具有巨大的表面能和表面活性,在还原降解有机物过程中存在 3 种还原剂可作为电子供体,即零价铁(Fe^0)、铁腐蚀产生的亚铁离子(Fe^{2+})以及铁腐蚀过程中产生的氢气(H_2),它们都可能导致 TBBPA 还原脱溴而牛成低溴产物[27]。

$$Fe^0 + T$$
-Br + H⁺ $\longrightarrow Fe^{2+} + T$ -reduced + Br⁻
(1)

$$2Fe^{2+} + T-Br + H^{+} \longrightarrow 2Fe^{3+} + T$$
-reduced + Br⁻
(2)

$$H_2 + T$$
-Br $\longrightarrow T$ -reduced $+ H^+ + Br^-$ (3)

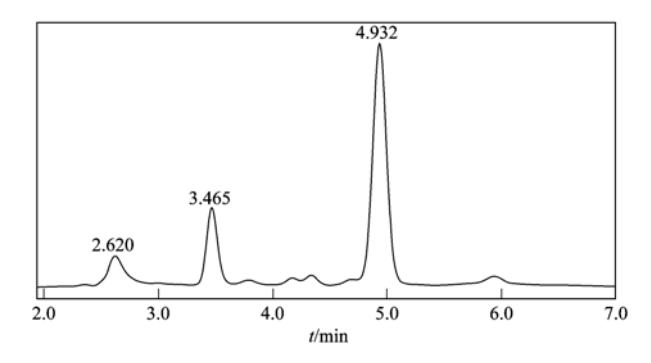


图 6 25℃下 TBBPA 经过 NZVI-CMT 降解后的 HPLC 谱图

Fig. 6 HPLC spectrum of the reduction products of TBBPA by NZVI-CMT at $25\,^\circ\!\mathrm{C}$

然而,当体系中仅有 Fe⁰ 而没有 Ag^[27~29]、Pd^[30]等其它有效催化剂时,氢气很难起到还原作用^[14];另外,Fe²⁺参与还原脱溴反应速率缓慢,数量也很有限^[31,32]. 因此,TBBPA 的还原脱溴反应主要由 Fe⁰ 作为还原剂参与反应.

3 结论

- (1) NZVI-CMT 能有效去除溶液中 TBBPA,在 25℃条件下, 0.02gNZVI-CMT 对初始浓度 10 mg·L⁻¹ TBBPA 溶液的去除率可达 97.5%.
- (2) NZVI-CMT 对 TBBPA 前 3 次去除率均大于 90%,第四次反应中仍具有一定的去除作用,去除率 为 68.7%.
- (3)温度较高时, NZVI 的脱溴效率较高;但较低温度条件下, NZVI-CMT 表现出更好的去除效果.
- (4)TBBPA 在 CMT-NZVI 材料的去除过程中, 吸附作用首先迅速发生; 吸附于材料上的 TBBPA, 进而被负载于材料上的 Fe⁰ 降解还原.

参考文献:

- [1] Sellström U, Jansson B. Analysis of tetrabromobisphenol A in a product and environmental samples [J]. Chemosphere, 1995, 31 (4): 3085-3092.
- [2] Birnbaum L S, Staskal D F. Brominated flame retardants: cause for concern? [J]. Environmental Health Perspectives, 2004, 112(1): 9-17.
- [3] Norén K, Meironyté D. Certain organochlorine and organobromine contaminants in Swedish human milk in perspective of past 20-30 years[J]. Chemosphere, 2000, 40(9-11); 1111-1123.
- [4] Hamers T, Kamstra J H, Sonneveld E, et al. In vitro profiling of the endocrine-disrupting potency of brominated flame retardants [J]. Toxicological Sciences, 2006, 92(1): 157-173.
- [5] Kitamura S, Jinno N, Ohta S, et al. Thyroid hormonal activity of the flame retardants tetrabromobisphenol A and tetrachlorobisphenol A [J]. Biochemical and Biophysical Research Communications, 2002, 293(1): 554-559.
- [6] Meerts I A T M, Van Zanden J J, Luijks E A C, et al. Potent competitive interactions of some brominated flame retardants and related compounds with human transthyretin in vitro [J]. Toxicological Sciences, 2000, 56(1): 95-104.
- [7] Eriksson J, Rahm S, Green N, et al. Photochemical transformations of tetrabromobisphenol A and related phenols in water [J]. Chemosphere, 2004, 54(1): 117-126.
- [8] Gerecke A C, Giger W, Hartmann P C, et al. Anaerobic degradation of brominated flame retardants in sewage sludge[J]. Chemosphere, 2006, 64(2): 311-317.
- [9] Zhang J, He S L, Ren H X, et al. Removal of tetrabromobisphenol-A from wastewater by ozonation [J]. Procedia Earth and Planetary Science, 2009, 1(1):1263-1267.

- [10] 李杰,徐殿斗,徐刚,等. 四溴双酚 A 的辐照降解研究[J]. 环境科学, 2012, 33(5): 1587-1590.
- [11] Gillham R W, O'Hannesin S F. Enhanced Degradation of Halogenated Aliphatics by Zero-Valent Iron [J]. Ground Water, 1994, 32(6): 958-967.
- [12] Cao J S, Wei L P, Huang Q G, et al. Reducing degradation of azo dye by zero-valent iron in aqueous solution [J]. Chemosphere, 1999, 38(3): 565-571.
- [13] 尹丽京,李益民,张璐吉,等. 羟基铝柱撑膨润土负载纳米铁还原 Cr(VI) [J]. 环境科学, 2009, **30**(4): 1055-1059.
- [14] Matheson L J, Tratnyek P G. Reductive dehalogenation of chlorinated methanes by iron metal [J]. Environmental Science and Technology, 1994, 28(12): 2045-2053.
- [15] Mahajan D, Desai A, Rafailovich M, et al. Synthesis and characterization of nanosized metals embedded in polystyrene matrix[J]. Composites Part B: Engineering, 2006, 37(1): 74-80.
- [16] Pal T, Sau T K, Jana N R. Reversible formation and dissolution of silver nanoparticles in aqueous surfactant media [J]. Langmuir, 1997, 13(6): 1481-1485.
- [17] 樊明德, 袁鹏, 陈天虎, 等. 蒙脱石载体对"核-壳"结构零价铁纳米颗粒制备及其尺寸控制的影响与机理[J]. 科学通报, 2010, 55(9); 827-834.
- [18] Üzüm Ç, Shahwan T, Eroğlua A E, et al. Synthesis and characterization of kaolinite-supported zero-valent iron nanoparticles and their application for the removal of aqueous Cu²⁺ and Co²⁺ ions[J]. Applied Clay Science, 2009, **43**(2): 172-181.
- [19] Orolínová Z, Mockovčiaková A. Structural study of bentonite/ iron oxide composites [J]. Materials Chemistry and Physics, 2009, 114(2-3): 956-961.
- [20] Li S Z, Wu P X, Li H L, et al. Synthesis and characterization of organo-montmorillonite supported iron nanoparticles [J]. Applied Clay Science, 2010, 50(3): 330-336.
- [21] Pang Z H, Jia X S, Liu K, et al. Preparation, characterization and their performance of the supported nanoscale zero-valent iron materials with different iron contents [J]. Advanced Materials Research, 2012, 573-574; 155-162.
- [22] 刘凯, 庞志华, 李小明, 等. 有机蒙脱石负载纳米铁去除 4-氯酚的研究[J]. 环境科学学报, 2011, **31**(12): 2616-2623.
- [23] De Wit C A. An overview of brominated flame retardants in the environment[J]. Chemosphere, 2002, 46(5): 583-624.
- [24] Bratsch S G. Standard electrode potentials and temperature coefficients in water at 298. 15 K[J]. Journal of Physical and Chemical Reference Data, 1989, 18(1): 1-21.
- [25] Lien H L, Zhang W X. Nanoscale iron particles for complete reduction of chlorinated ethenes [J]. Colloids and Surfaces A: Physicochemical and Engineering Aspects, 2001, 191 (1-2): 97-105.
- [26] 朱利中,陈宝梁,沈韩艳,等. 双阳离子有机膨润土吸附处理水中有机物的性能[J]. 中国环境科学,1999, **19**(4): 325-329.

- [27] Luo S, Yang S G, Sun C, et al. Feasibility of a two stage reduction/subsequent oxidation for treating Tetrabromobisphenol A in aqueous solutions [J]. Water Research, 2011, 45 (4): 1519-1528.
- [28] Luo S, Yang S G, Xue Y G, et al. Two-stage reduction/subsequent oxidation treatment of 2, 2',4,4'-tetrabromodiphenyl ether in aqueous solutions: Kinetic, pathway and toxicity [J].

 Journal of Hazardous Materials, 2011, 192(3): 1795-1803.
- [29] Luo S, Yang S G, Wang X D, et al. Reductive degradation of tetrabromobisphenol A over iron-silver bimetallic nanoparticles

- under ultrasound radiation [J]. Chemosphere, 2010, 79(6): 672-678.
- [30] 程荣,王建龙,张伟贤. 纳米金属铁降解有机卤化物的研究进展[J]. 化学进展, 2006, **18**(1): 93-99.
- [31] Deng B L, Burris D R, Campbell T J. Reduction of vinyl chloride in metallic iron-water systems [J]. Environmental Science and Technology, 1999, 33(15): 2651-2656.
- [32] Doong R A, Wu S C. Reductive dechlorination of chlorinated hydrocarbons in aqueous solutions containing ferrous and sulfide ions[J]. Chemosphere, 1992, 24(8): 1063-1075.

HUANJING KEXUE

Environmental Science (monthly)

Vol. 34 No. 6 Jun. 15, 2013

CONTENTS

Concentrations and Ozone Formation Potentials of BTEX During 2008-2010 in Urban Beijing, China	····· CAO Han-yu, PAN Yue-peng, WANG Hui, et al. (2065)
Aging and Mixing State of Particulate Matter During Aerosol Pollution Episode in Autumn Shanghai Using a Single Particle Aeroso	l Mass Spectrometer (SPAMS) ·····
Tigning and straining order or Latticeaster During Tections Totalities Expressed in Autumn Colleges College College Colleges	· MU Ying-ying, LOU Sheng-rong, CHEN Chang-hong, et al. (2071)
Chemical Characteristics and Source Assessment of Rainwater at Shenyang	···· ZHANG Lin-jing, ZHANG Xiu-ying, JIANG Hong, et al. (2081)
Variation of Atmospheric Pollutants in Qinhuangdao City	LIU Lu-ning, SHEN Yu-xuan, XIN Jin-yuan, et al. (2089)
NH ₃ , N ₂ O, CH ₄ and CO ₂ Emissions from Growing Process of Caged Broilers	··· ZHOU Zhong-kai. ZHU Zhi-ping. DONG Hong-min. et al. (2098)
Synergetic Effects of Silicon Carbide and Molecular Sieve Loaded Catalyst on Microwave Assisted Catalytic Oxidation of Toluene	
Removal of Mixed Waste Gases by the Biotrickling Filter	THANC Ding fong FANC Inn vi VF Iio vu et al. (2116)
Decomposion of Carbon Disulfide by Pulse Corona Under Oxidizing and Reducing Atmosphere	III Shane HIANG Live: II Cue nine (2121)
Decomposion of Carbon Distinct by ruise Corona Unioer Oxidizing and Reducing Almosphere	JIN Sheng, HUANG LI-Wei, Li Guo-ping (2121)
Effects of Simulated Elevation of Atmospheric CO ₂ Concentration on the Physiological Features of Spring Phytoplankton in Taihu I	ake
	ZHAO Xu-hui, TANG Long-sheng, SHI Xiao-li, et al. (2126)
A New Method for Estimation the Lake Quality Reference Condition	HUA Zu-lin, WANG Liang (2134)
Parameter Sensitivity Analysis of Runoff Simulation and Model Adaptability Research Based on HSPF	LI Yan, LI Zhao-fu, XI Qing (2139)
Study on Water Quality Monitoring Scheme Based on Non-Point Source Pollution	WU Xi-jun, LI Huai-en, LI Jia-ke, et al. (2146)
Characteristics of Nutrient Loss by Runoff in Sloping Arable Land of Yellow-brown Under Different Rainfall Intensities	······ CHEN Ling, LIU De-fu, SONG Lin-xu, et al. (2151)
Distribution of Dissolved Inorganic Nutrients and Dissolved Overgen in the High Frequency Area of Harmful Algal Blooms in the F	act China Sea in Spring
Distribution of Dissorted Inorganic Futurents and Dissorted Copyright the High Frequency Area of Halinta Argan Dissorted	LI Hong-mei, SHI Xiao-vong, CHEN Peng, et al. (2159)
Temporal-Spatial Distribution of Algal Cells During Drought Period in Daning River of Three Gorges	· ZHANG Yong-sheng ZHENG Bing-hui WANG Kun et al. (2166)
Bioavailability of Dissolved Organic Nitrogen Components in the Lake Sediment to Alage	FENC Wei-ving 7HANC Shang HAO Li-vin et al. (2176)
Influence of Decomposition of <i>Cladophora</i> sp. on Phosphorus Concentrations and Forms in the Overlying Water	HOLL in al.: WELD on CAOL: at al. (2174)
Phosphorus Exchange Between Suspended Solids Sediments Overlying Water Under Repeated Disturbance	TOU JIII-ZIII, WEI QUAII, GAO LI, et at. (2104)
rnospnorus Exchange between Suspended Sonds Sediments Overlying water Under Repeated Disturbance	LI Da-peng, WANG Jing, HUANG Tong (2191)
Distribution Characteristics of PBDEs in Surface Sediment from the Three Gorges Reservoir of Yangtze River	LI Kun, ZHAO Gao-leng, ZHOU Huai-dong, et al. (2198)
Study on UV and H ₂ O ₂ Combined Inactivation of <i>E. coli</i> in Drinking Water	······· ZHANG Yi-qing, ZHOU Ling-ling, ZHANG Yong-ji (2205)
Kinetics and Influencing Factors of Dimethyl Phthalate Degradation in Aqueous Solution by Ozonation	······· YU Li, ZHANG Pei-long, HOU Jia-cai, et al. (2210)
Effects of Nitrate Ion on Monomethylmercury Photodegradation in Water Body	MAO Wen, SUN Rong-guo, WANG Ding-yong, et al. (2218)
Chlorination of Ethynyl Estradiol A Kinetic and Mechanistic Study	···· WANG Bin-nan, LIU Guo-giang, KONG De-yang, et al. (2225)
Metal Ions Restrain the Elimination of 4-tert-Octylphenol by δ-MnO ₂	LI Fei-li MOU Hua-gian (2232)
Removal of Bisphenol A in Aqueous Solutions by Core-shell Magnetic Molecularly Imprinted Polymers	LIU lian-ming LI Hong-hong XIONG Zhen-hu (2240)
Research on Removal of Tetrabromobisphenol A from Synthetic Wastewater by Nanoscale Zero Valent Iron Supported on Organobe	ntonite
research on removal of retransomonspherior A non-symmetre wastewater by Nanoscate Zero varent non-supported on Organobe	
Measurement of Dissolved Organic Nitrogen with Nanofiltration Pretreatment and Its Distribution Characteristics in Landscape Wat	1 Alv Meng-yue, FANG Ziii-iiua, Li Alao-iiiing, et al. (2249)
Measurement of Dissolved Organic Nitrogen with Nanothtration Pretreatment and its Distribution Characteristics in Landscape wat	er
	· · · YU Hong-lei, HUO Shou-liang, YANG Zhou-sheng, et al. (2256)
Preparation of a Novel Modified Hydrogel and Study of Its Adsorption Performance	WU Ning-mei, LI Zheng-kui (2263)
Photocatalytic Reductive Degradation of Direct Red 4BE by Posphotungstic Acid Wastewater Treatment Using a Microbubble Aerated Biofilm Reactor	WEI Hong, LI Ke-bin, LI Juan, et al. (2271)
Wastewater Treatment Using a Microbubble Aerated Biofilm Reactor	ZHANG Lei, LIU Ping, MA Jin, et al. (2277)
Research on Fenton Treatment of the Biochemical Processes Effluent of Bamboo Industry Wastewater	GUO Qing-wen, ZHANG Min, WANG Wei, et al. (2283)
Effect of Fe ^{2 +} on Fermentation Hydrogen Production in an UASB	···· LI Yong-feng, WANG Yi-xuan, CHENG Guo-ling, et al. (2290)
Influence of Substrate Concentration on PHA Production Using Fermented Sugar Cane as Substrate	
Study on Rapid Start-up of a Nitrifying Process Using Aerobic Granular Sludge as Seed Sludge	III Wen-ru SHEN Vac-liang DINC Ling-ling at al. (2302)
Influencing Factors of High-Concentration Lead Removal Using the Phosphorus-Accumulating Sludge	VANC Min III I and FENC Vanc et al. (2001)
Initiation of actors of right-concentration lead removal using the Prosphorus-Accumulating Studge	TANG MIII, LU LONG, FENG TONG, et al. (2009)
Preliminary Study on Characteristics of Volumetric Oxygen Transfer Coefficient in Granular Sludge Systems Ecological Risk Assessment of Bisphenol A in Chinese Freshwaters	LI Zhi-hua, FAN Chang-qing, WANG Xiao-chang (2314)
Ecological Risk Assessment of Bisphenol A in Chinese Freshwaters	WANG Hao, FENG Cheng-lian, GUO Guang-hui, et al. (2319)
Species Sensitivity Evaluation of Pseudorasbora parva	
Comparison of Aquatic Predicted No-Effect Concentrations (PNECs) for Pentachlorophenol Derived from Different Assessment Ap	proaches LEI Bing-Li, WEN Yu, WANG Yi-pei, et al. (2335)
Study on Hair Hg and Pb Content Distribution of Traffic Polices, Guilin	
Changes in Phototaxical Index of Daphnia carinata Under Electric Field of Direct Current in Response to Cr ⁶⁺ and Hg ²⁺	WANG Fei-xiang, YUAN Ling, HUANG Jian-guo (2350)
Effect of UV-B Radiation on the Chemical Composition and Subsequent Decomposition of Cyclobalanopsis glauca Leaf Litter	SONG Xin-zhang BII Tao ZHANG Shui-kui et al. (2355)
Leaf Micro-morphology and Features in Adsorbing Air Suspended Particulate Matter and Accumulating Heavy Metals in Seven Tre	ss Species
Teal state-indipinions; and Teatures in Australia; and Outperford Tautomate states and Accumulating Teaty steams in Section 116	LIU Ling, FANG Yan-ming, WANG Shun-chang, et al. (2361)
Effect of Dissolved Oxygen on Microbial Community in Simultaneous Removal of Carbon, Nitrogen and Sulfur Process	VI Has CHEN Chair 7HANC 1; et al. (236)
Microbial Activity and Community Structure Analysis Under the Different Land Use Patterns in Farmland Soils; Based on the Met	hods PLFA and MicroResp ****
	····· CHEN Xiao-juan, WU Xiao-hong, LIU Shou-long, et al. (2375)
Effects of Drying-rewetting Alternation on Nitrogen Dynamics in a Typical Coastal Wetland: A Simulation Study	
Cadmium and Selected Heavy Metals in Soils of Jianping Area in Wushan County, the Three Gorges Region: Distribution and Soil	rce Recognition ·····
	LIU Yi-zhang, XIAO Tang-fu, NING Zeng-ping, et al. (2390)
Total Contents of Heavy Metals and Their Chemical Fractionation in Agricultural Soils at Different Locations of Beijing City	
Influence of Season Change on the Level of Heavy Metals in Outdoor Settled Dusts in Different Functional Areas of Guiyang City	
Characteristics of Dioxin-Like Polychlorinated Biphenyls Contamination in Soils of Gudao Region in Dongying	WANG Deng-ge CIJI Zhao-jie FII Xiao-wen et al. (2416)
Effects of Simulated Nitrogen Deposition on Organic Matter Leaching in Forest Soil	DIJAN Lei MA Vice vice VII De vice et al. (2422)
Enects of simulated Nutogen Deposition on Organic Matter Learning in Forest Son	CLIN M: TENC V: LUC V : (2422)
Ex-situ Remediation of PAHs Contaminated Site by Successive Methyl-\$\beta\text{-Cyclodextrin Enhanced Soil Washing}	SUN Ming-ming, IENG Ting, LUU Yong-ming, et al. (2428)
Effects of Bacillus mucilaginosus on the Cd Content of Rhizosphere Soil and Enzymes in Soil of Brassica juncea	YANG Rong, LI Bo-wen, LIU Wei (2436)
Concentrations of Antibiotics in Vegetables from Manure-mended Farm	WU Xiao-lian, XIANG Lei, MO Ce-hui, et al. (2442)
Characteristics of Organic Nitrogen Mineralization in Organic Waste Compost-Amended Soil	ZHANG Xu, XI Bei-dou, ZHAO Yue, et al. (2448)
Characteristics and Influence Factors of the Energy Consumption and Pollutant Discharge of Municipal Solid Waste Transfer Statio	ns in Beijing ·····
	······ WANG Zhao, LI Zhen-shan, FENG Ya-bin, et al. (2456)
Influence of Ammonia on Leaching Behaviors of Incineration Fly Ash and Its Geochemical Modeling	GUAN Zhen-zhen, CHEN De-zhen, Thomas Astrum (2464)
Pretreatment Technology for Fly Ash from MSWI and the Corresponding Study of Chloride Behavior	ZHII Fen-fen Takaoka Masaki Oshita Kazuwuki et al. (2473.)
Preparation, Characterization and Adsorption Performance of Mesoporous Activated Carbon with Acidic Groups	II Kun-guan II Vo 7HENC 7hong at al / 2470)
Preliminary Assessment of the Potential of Biochar Technology in Mitigating the Greenhouse Effect in China	HANC This riong THENC Has THE Form and A 2400
remaining assessment of the foreign of Diochar Technology in Miligating the Greenhouse Effect in China	JIANG LII-XIANG, LITENG C. DONG V. 1 (2480)
Research of Potassium Flow and Circulation Based on Substance Flow Analysis	BAI Hua, ZENG SI-yu, DONG Xin, et al. (2493)

《环境科学》第6届编辑委员会

主 编:欧阳自远

副主编:赵景柱 郝吉明 田 刚

编 委: (按姓氏笔画排序)

万国江 王华聪 王凯军 王绪绪 田 刚 田 静 史培军

朱永官 刘志培 汤鸿霄 陈吉宁 孟 伟 周宗灿 林金明

欧阳自远 赵景柱 姜 林 郝郑平 郝吉明 聂永丰 黄 霞

黄耀 鲍强潘纲潘涛魏复盛

环维种草

(HUANJING KEXUE)

(月刊 1976年8月创刊)

2013年6月15日 34卷 第6期

ENVIRONMENTAL SCIENCE

(Monthly Started in 1976)

Vol. 34 No. 6 Jun. 15, 2013

主	管	中国科学院	Superintended	by	Chinese Academy of Sciences
主	办	中国科学院生态环境研究中心	Sponsored	by	Research Center for Eco-Environmental Sciences, Chinese
协	办	(以参加先后为序)			Academy of Sciences
		北京市环境保护科学研究院	Co-Sponsored	by	Beijing Municipal Research Institute of Environmental
		清华大学环境学院			Protection
主	编	欧阳自远			School of Environment, Tsinghua University
编	辑	《环境科学》编辑委员会	Editor-in -Chief		OUYANG Zi-yuan
21111	14	北京市 2871 信箱(海淀区双清路	Edited	by	The Editorial Board of Environmental Science (HUANJING
		18 号,邮政编码:100085)			KEXUE)
		电话:010-62941102,010-62849343			P. O. Box 2871, Beijing 100085, China
		传真:010-62849343			Tel:010-62941102,010-62849343; Fax:010-62849343
		E-mail; hjkx@ rees. ac. cn			E-mail; hjkx@ rcees. ac. cn
		http://www.hjkx.ac.cn			http://www. hjkx. ac. cn
出	版	4 星 虫 版 社	Published	by	Science Press
щ	///	北京东黄城根北街 16 号			16 Donghuangchenggen North Street,
		邮政编码:100717			Beijing 100717, China
印刷装	ìΤ	北京北林印刷厂	Printed	by	Beijing Bei Lin Printing House
发	行	斜学出版社	Distributed	by	Science Press
		电话:010-64017032			Tel:010-64017032
		E-mail:journal@mail.sciencep.com			E-mail:journal@mail.sciencep.com
订 购	处	全国各地邮电局	Domestic		All Local Post Offices in China
国外总发	钪行	中国国际图书贸易总公司	Foreign		China International Book Trading Corporation (Guoji
		(北京 399 信箱)			Shudian), P. O. Box 399, Beijing 100044, China

中国标准刊号: ISSN 0250-3301 CN 11-1895/X

国内邮发代号: 2-821

国内定价:90.00元

国外发行代号: M 205

国内外公开发行